

تحلیل ترمودینامیکی و اگزرزیتیکی ترکیب‌های مختلف چرخه توربین گازی و آب شیرین کن تبخیری چند مرحله‌ای

استادیار، دانشکده مهندسی مکانیک، دانشگاه آزاد اسلامی، مشهد، ایران

دانشجوی کارشناسی ارشد، دانشکده مهندسی مکانیک، دانشگاه آزاد اسلامی، مشهد، ایران

استادیار، دانشکده مهندسی مکانیک، دانشگاه بزرگمهر قائنات، قائن، ایران

دانشجوی دکتری، دانشکده مهندسی مکانیک، دانشگاه فردوسی مشهد، مشهد، ایران

سید محمود ابوالحسن علوی

فاطمه نوری گوشکی

* سید احسان شکیب

محمد مصطفی غفوریان

چکیده

در این پژوهش به تحلیل ترمودینامیکی و اگزرزیتیکی سه نوع چرخه توربین گازی کوپل شده با آب شیرین کن گرمایی چند مرحله‌ای با تراکم بخار (METVC) پرداخته شده است. سیستم اول چرخه توربین گاز ساده (بدون تزریق بخار) می‌باشد. در سیستم دوم تزریق بخار به داخل محفظه احتراق (STIIC) و در سیستم سوم تزریق بخار قبل از محفظه احتراق (STIBC) صورت گرفته است. در ابتدا با ثابت نگه داشتن پارامترهای طراحی از قبیل نسبت فشار کمپرسور، دمای محصولات احتراق، فشار بخار محرك و ...، عملکرد این سه مدل بررسی شده است و سپس با استفاده از کد محاسباتی تاثیر هر یک از این پارامترها بر راندمان اگرریزی، توان خروجی، نرخ تخریب اگرریزی و عوامل موثر بر تولید توان و آب شیرین مطالعه شده است. نتایج نشان می‌دهند که راندمان اگرریزی در مدل‌های با تزریق بخار،^۴ درصد نسبت به مدل بدون تزریق بخار افزایش می‌یابد و در مدل‌های STIIC و STIBC با اعمال تزریق بخار این پارامتر ۸۲/۷۵ مگاوات می‌باشد. کاهشی به ترتیب به ۸۰/۲۲ و ۸۱/۲۶ مگاوات خواهد رسید در حالی که در مدل بدون تزریق بخار این پارامتر ۸۲/۷۵ مگاوات می‌باشد.

واژه‌های کلیدی: تحلیل انرژی و اگرریزی، تزریق بخار، نرخ بازگشت ناپذیری (تخریب اگرریزی)، تولید همزمان، آب شیرین کن تبخیری چند مرحله‌ای.

Exergetic and Thermodynamic Analysis of Several Combinations of Gas Turbine Cycles with Multiple Effect Evaporation Desalination

S. M. Abolhasan Alavi
F. Nouri Gooshki
S. E. Shakib
M. M. Ghafooryan

Department of Mechanical Engineering, Azad University of Mashhad, Mashhad, Iran
Department of Mechanical Engineering, Azad University of Mashhad, Mashhad, Iran
Department of Mechanical Engineering, Bozorgmehr University of Qaenat, Qaen, Iran
Department of Mechanical Engineering, Ferdowsi University of Mashhad, Mashhad, Iran

Abstract

In this study, three kinds of gas turbine cycles coupled with multi effect evaporation thermal vapor compression desalination (METVC) are investigated. The first system is a simple cycle gas turbine (without steam injection). In the second and third system, a cycle gas turbine with steam injection into the combustion chamber (STIIC) and a gas turbine with steam injection before the combustion chamber (STIBC) are considered, respectively. At the first, design parameters such as compressor pressure ratio, the temperature of combustion product and pressure of motive steam was fixed and the performance of these three models are evaluated. Then, using a developed computational code, the effect of these parameters on exergy efficiency, output power, exergy destruction and important parameters of fresh water and power production are studied. The results show that exergy efficiency for models with steam injection increased 4% compared to the model without steam injection. In addition, for STIIC and STIBC, the rate of irreversibilities will reduce to 80.22 and 81.26 MW where this parameter is 82.72 MW for without steam injection model.

Keywords: Energy and exergy analyses, Steam injection, Exergy destruction, Cogeneration, Multi-effect thermal vapor compression desalination.

صرف سوخت و یا از الکتریسیته شبکه سراسری دریافت می‌کرددند. اما با توجه به پژوهش‌های مختلف و تحلیل اقتصادی این گونه سیستم‌ها، امروزه استفاده از سیستم‌های تک منظوره منسخ شده و از سیستم‌های دو منظوره استفاده می‌شود^[۱-۲]. سیستم‌های دو منظوره تولید همزمان آب شیرین و توان شامل دو بخش مهم، نیروگاه‌های گرمایی و واحدهای شیرین سازی آب هستند^[۲]. در تحقیقاتی که توسط بلند و استادا^[۳] انجام شد، نتایج مفیدی در مورد استفاده از چرخه‌های مختلف توربین گازی از جمله چرخه ساده، چرخه تزریق بخار و چرخه ترکیبی بدست آمد. نتایج این بررسی

-۱- مقدمه

با توجه به رو به زوال بودن منابع انرژی فسیلی، مسائل مربوط به بازیافت انرژی در واحدهای صنعتی و فرایندی در سال‌های اخیر محققین بیشماری را متوجه خود کرده است. از آجا که تولید آب شیرین همزمان با افزایش جمعیت مناطق مختلف، همواره یکی از مسائل مهم صنعتی بوده، استفاده از تکنولوژی شیرین‌سازی آب می‌تواند یکی از مؤثرترین و مفیدترین روش‌های استفاده از گرمای بازیافتی واحدهای نیروگاهی باشد. سیستم‌های اولیه شیرین‌سازی آب شور و آب دریا انرژی مورد نیاز خود را مستقلان از منبع گرمایی با

با این وجود در مقالات محدودی به مطالعه سیستم تولید توان و بهبود عملکرد آنها با فرآیند تزریق بخار پرداخته شده است، بالاخص در رابطه با تحلیل انرژی و اگزرسی استفاده از تزریق بخار قبل و بعد از محفظه احتراق مشاهده نمی‌شود. در واقع مطالعه چهارگونگی استفاده از تکنیک‌های بهبود عملکرد چرخه گازی و نیز تحلیل انرژی و اگزرسی آن از جمله مواردی است که خلا آن در ادبیات موضوع کاملاً مشهود است. در همین راستا در این پژوهش با در نظر گرفتن عملکردن مودینامیکی آب شیرین کن های گرمایی و چرخه توربین گاز به تحلیل انرژی و اگزرسی سه چرخه توربین گاز ساده (بدون تزریق بخار)، چرخه با تزریق بخار به داخل محفظه احتراق (STIIC) و با تزریق بخار قبل از محفظه احتراق (STIBC) پرداخته خواهد شد.

۲- مدل‌های ترمودینامیکی سیستم

سیستم‌های مورد مطالعه، شامل سه مدل ترکیب چرخه توربین گاز (یکی همراه با تزریق بخار به داخل محفظه احتراق، تزریق بخار قبل از محفظه احتراق و دیگری بدون تزریق بخار)، بویلر بازیاب گرما و آب شیرین کن تبخیری چند مرحله‌ای با تراکم بخار می‌باشند که با استفاده از کد محاسباتی متلب^۲ مدل‌سازی و بسط داده شده اند و معادلات ترمودینامیکی حاکم بر هر یک از آن‌ها بطور جداگانه ارایه می‌شود.

۱-۱- تحلیل انرژی چرخه ساده نیروگاه گازی

شکل ۱ کوپلینگ یک نیروگاه گازی ساده (بدون تزریق بخار) با آب شیرین کنتبخیری چند مرحله‌ای تراکم بخار گرمایی را نشان می‌دهد. چرخه همزمان تولید توان و آب، یک چرخه توربین گاز ساده است که از گاز داغ خروجی از توربین گاز جهت تولید بخار مورد استفاده آب شیرین کن استفاده می‌شود. دمای هوای اتمسفر در کمپرسور بصورت آبزنشروپیک افزایش می‌باشد [۱۱]. طبق رابطه (۱) داریم:

$$T_{2s} = T_1 \left(\frac{r_c}{k} \right)^{\frac{(k-1)}{k}} \quad (1)$$

که r_c نسبت فشار کمپرسور، T بر حسب درجه کلوین، P فشار بر حسب کیلوباسکال و زیرنویس‌های ۱، ۲ و ۳ به ترتیب مربوط به ورودی، خروجی و آبزنشروپیک است. k نسبت گرمای ویژه در فشار ثابت به گرمای ویژه در حجم ثابت برای مخلوط چند جزئی هوا تعریف می‌گردد. مقادیر گرمایان ویژه بوسیله رابطه (۲) متغیر با دما محاسبه شده است [۱۱]:

$$C_p = a + by + cy^{-2} + dy^2y = 10^{-3}T \quad (2)$$

که a, b, c, d اعداد ثابت برای هر یک از عناصر تشکیل دهنده هوا و y تابع دما می‌باشد.

دمای واقعی هوای خروجی اسز کمپرسور با استفاده از راندمان آبزنشروپیک کمپرسور بصورت رابطه (۳) محاسبه می‌شود [۱۱]:

$$T_2 = T_1 + \left(\frac{T_{2s} - T_1}{\eta_c} \right) \quad (3)$$

که بر اساس آخرین پیشرفت تکنولوژی توربین‌های گازی صورت گرفت، نشان داد که در مورد سیستم‌های کوچک بازده قانون اول چرخه تزریق بخار قابل مقایسه با چرخه ترکیبی می‌باشد. در تحقیقی از کوپک و زمیر[۴] که بر روی تاثیر تزریق بخار در اثاق احتراق روی بازده قانون دوم در سال ۲۰۰۴ انجام شد، نشان داده شده است که افزایش دمی گرمایی بخار تزریق شده، افزایش توان الکتریکی خالص خروجی و کاهش اثاق اگزرسی کلی با بازگشت ناپذیری را در بر خواهد داشت. بهبهانی نیا و همکاران[۵] در تحقیقی به بررسی تحلیل ترمواکونومیکی چرخه‌های توربین گازی همراه با تزریق بخار به داخل محفظه احتراق پرداختند. نتایج حاکی از آن است که استفاده از سیستم تزریق بخار باعث افزایش ۱۵ درصدی راندمان گرمایی شده است. از لحاظ اقتصادی نیز این روش موجب کاهش چشمگیر هزینه تولید برق در حدود ۳۱ درصد شده است. در کاربیشیدا و همکاران[۶] دو روش تزریق به کار گرفته شده است. روش اول تزریق آب (یکی در قبل از مرحله کمپرسور و دیگری بعد از مرحله کمپرسور) و روش دوم تزریق بخار (یکی در محفظه احتراق و دیگری بعد از مرحله کمپرسور) می‌باشد. نتایج حاکی از بالاتر بودن راندمان چرخه تزریق بخار نسبت به چرخه تزریق آب است. اساس کار توربین‌های گاز مرطوب^۱، اضافه کردن بخار آب (آب) به هوای فشرده می‌باشد.

مطالعات نشان می‌دهد که بحث استفاده از سیستم‌های آب شیرین کن در ترکیب با چرخه توربین گاز از جمله مواردی است که در سالهای اخیر با اقبال زیادی مواجه شده است.

لیور و ونگ[۷] چرخه توربین گاز با تزریق بخار و اتصال ان را با آب شیرین کن تبخیری چند مرحله‌ای مورد بررسی قرار دادند. پژوهشگران از نتایج مدل‌سازی نتیجه گرفتند که دمی بخار تزریق شده به اثاق احتراق تاثیر عمیقی بر تولید آب و توان خواهد داشت. افزایش این دمی سبب افزایش تولد توان اما کاهش تولید آب شیرین خواهد داشت و از طرف دیگر افزایش دمای ورودی به توربین باعث افزایش توان و آب تولیدی خواهد شد.

یو و اصفهانی [۸] عملکرد سیستم ترکیبی چرخه توربین گاز با تزریق بخار و آب شیرین گرمایی چند مرحله‌ای را مورد مطالعه قرار دادند. در این پژوهش نویسنده‌گان تاثیر اختلاف دمای ورودی آب شیرین کن و درصد دمی بخار تزریقی به هوا را بر اقتصاد سیستم و مسائل فنی آن مورد بررسی قرار دادند.

بهبهانی نیا و همکاران[۹] تحلیل اقتصادی سیستم ترکیبی تولید توان و آب شیرین را مورد بررسی قرار دادند. سیستم مورد مطالعه آنها شامل چرخه توربین گازی و آب شیرین کن چند مرحله با افت ناگهانی فشار بود که نویسنده‌گان با توجه ویژه به میزان دسترسی واقعی (Availability) به واحد مذکور اقدام به مطالعه آن نموده اند.

احمدی و همکاران [۱۰] بهینه سازی اکسری اکونومیکی یک سیستم ترکیبی شامل نیروگاه گازی، پیل سوختی اکسید جامد و آب شیرین کن تبخیری چند مرحله‌ای را به انجام رساندند. محققین با انجام بهینه سازی سیستم مورد مطالعه توансند راندمان اکسری را از ۰.۵۷٪ به ۰.۶۳٪ افزایش داده و قیمت انرژی الکتریکی را کاهش دهند.

² MATLAB

¹ Humidified Gas Turbine

برای بدست آوردن توان مصرفی کمپرسورهای هوا و سوخت از معادلات (۱۵) و (۱۶) استفاده می‌شود که مبنای آن‌ها قانون اول ترمودینامیک می‌باشد [۱۲]:

$$\dot{W}_{ca} = \dot{m}_a (1 + \omega_1) (h_2 - h_1) \quad (۱۵)$$

$$\dot{W}_{cf} = \dot{m}_f \left(\frac{1}{AF} \right) (h_f - h_0) \quad (۱۶)$$

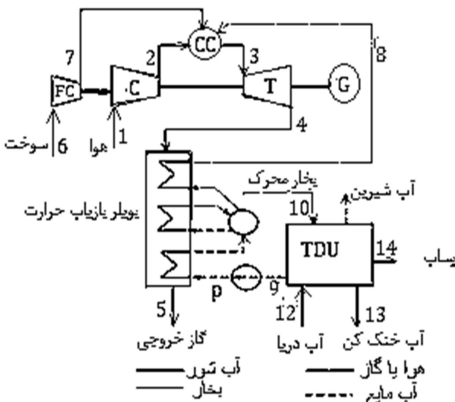
دبي محصولات احتراق از رابطه (۱۷) و توان تولیدی توربین از رابطه (۱۸) محاسبه می‌شوند:

$$\dot{m}_g = \dot{m}_a + \dot{m}_f \quad (۱۷)$$

$$W_t = \dot{m}_g (h_3 - h_4) \quad (۱۸)$$

۲-۲- تحلیل انرژی نیروگاه گازی همراه با تزریق بخار به داخل محفظه احتراق

شکل ۲ طرحواره نیروگاه گازی با تزریق بخار به داخل محفظه احتراق و ترکیب آن با آب شیرین کن تبخیری چند مرحله‌ای تراکم بخار گرمایی را نشان می‌دهد که پارامترهای مورد نیاز برای محاسبات آن در ادامه توضیح داده شده است:



شکل ۲- سیستم ترکیبی آب و توان در حالت تزریق بخار داخل محفظه احتراق [۷]

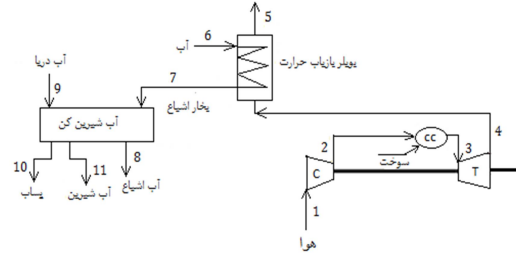
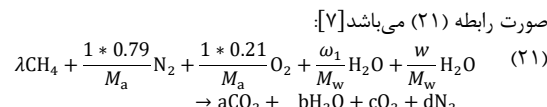
با استفاده از روابط پلی تربیک برای گاز ایده آل و با فرض آبزنشتربیک بودن کمپرسور با راندمان آبزنشتربیک η_c دمای هوا خروجی از کمپرسور طبق رابطه (۱۹) بدست می‌آید [۷]:

$$T_2 = T_1 + \frac{T_1}{\eta_c} \left(r_c^{\frac{k-1}{k}} - 1 \right) \quad (۱۹)$$

برای یک کمپرسور آبزنشتربیک، راندمان (η_c) را می‌توان از رابطه (۲۰) محاسبه کرد [۷]:

$$\eta_c = 1 - \left(0.04 + \frac{r_c - 1}{150} \right) \quad (۲۰)$$

و اکنش به ازای نرخ جریان جرمی یک کیلوگرم هوا خشک (شامل ۰٪۲۱ مولی O_2 و ۷۹٪ مولی N_2) در محفظه احتراق انجام می‌شود. و اکنش در محفظه احتراق در چرخه همراه با تزریق بخار داخل محفظه احتراقه صورت رابطه (۲۱) می‌باشد [۷]:



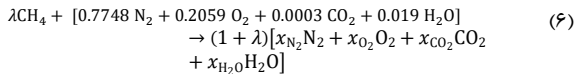
شکل ۱- سیستم تولید هم‌زمان ساده [۱۲]

رطوبت نسبی و رطوبت مطلق که بترتیب با ϕ و w_1 نشان داده می‌شوند از روابط (۴) و (۵) محاسبه می‌شوند:

$$\phi = \frac{P_v}{P_g} \quad (۴)$$

$$w_1 = \frac{0.622 P_v}{P_{atm} - P_v} \quad (۵)$$

و اکنش در محفظه احتراق در چرخه توربین گازی ساده به صورت رابطه (۶) است [۱۱]:



$$\lambda = \frac{n_F}{n_a} \quad (۷)$$

$$1 + \lambda = \frac{n_p}{n_a} \quad (۸)$$

که طبق روابط (۷) و (۸)، λ ، نسبت مولی سوخت به هوا می‌باشد، n_a مقدار مولی و زیرنویس‌های a, F, P مربوط به محصولات احتراق، سوخت و هوا است. با موازنی و اکنش شیمیایی، ضرایب مولی محصولات به صورت رابطه (۹) بدست می‌آید [۱۱]:

$$\begin{cases} x_{N_2} = \frac{0.7748}{1 + \lambda} \\ x_{O_2} = \frac{0.2059 - 2\lambda}{1 + \lambda} \\ x_{CO_2} = \frac{0.0003 + \lambda}{1 + \lambda} \\ x_{H_2O} = \frac{0.019 + 2\lambda}{1 + \lambda} \end{cases} \quad (۹)$$

دمای خروجی از توربین گاز نیز مشابه معادلات ذکر شده برای کمپرسور طبق رابطه (۱۰) محاسبه می‌شود [۱۱]:

$$T_{4s} = \frac{T_3}{\left(\frac{(k-1)}{k} \right) \left(\frac{r_c}{r_c} \right)} \quad (۱۰)$$

دمای واقعی هوا خروجی از توربین با استفاده از راندمان آبزنشتربیک توربین طبق رابطه (۱۱) بدست می‌آید:

$$T_4 = T_3 - (T_3 - T_{4s}) \eta_t \quad (۱۱)$$

که طبق رابطه (۱۱)، زیرنویس‌های ۳ و ۴ مربوط به ورودی و خروجی توربین می‌باشد [۱۱]:

برای محاسبه دبی هوا، نسبت هوا به سوخت و دبی سوخت به ترتیب از معادلات (۱۲)، (۱۳) و (۱۴) استفاده می‌شود [۱۲]:

$$\dot{m}_a = \frac{\dot{W}_{net} M_a}{(h_1 - h_2) + (1 + \lambda)(h_3 - h_4)} \quad (۱۲)$$

$$AF = \frac{M_a}{\lambda M_f} \quad (۱۳)$$

$$\dot{m}_f = \lambda \left(\frac{M_f}{M_a} \right) \dot{m}_a \quad (۱۴)$$

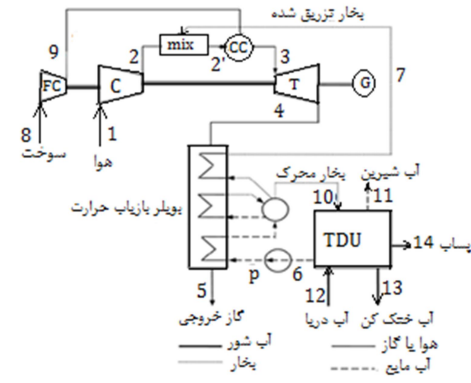
محبوبات در این رابطه، (d,c,b,a,λ)، از تعادل جرمی عناصر در سمت راست و چپ معادله، به همراه معادله قانون اول ترمودینامیک در محفظه احتراق بدست می‌آید.

در رابطه (۲۱)، W نسبت تزریق بخار است که برابر است با نسبت بخار

$$w = \frac{m_s}{m_a} \quad (۲۲)$$

۳-۲- تحلیل انرژی نیروگاه گازی همراه با تزریق بخار قبل از محفظه احتراق

شکل ۳ طرحواره نیروگاه گازی با تزریق بخار قبل از محفظه احتراق و ترکیب آن با آب شیرین کن تبخیر چند مرحله‌ای تراکم بخار گرمایی را نشان می‌دهد:



شکل ۳- سیستم ترکیبی آب و توان در حالت تزریق بخار قبل از محفظه احتراق

واکنش در محفظه احتراق در چرخه همراه با تزریق بخار قبل از محفظه احتراق مشابه معادلات مربوط به مدل تزریق بخار داخل محفظه احتراق در نظر گرفته شده است.

دمای گازهای خروجی از توربین از رابطه (۲۳) محاسبه می‌شود [۷]:

$$T_4 = T_3 + \eta_t T_3 \left(\left(\frac{1}{r_c} \right)^{\frac{k-1}{k}} - 1 \right) \quad (۲۳)$$

در دو مدل همراه با تزریق بخار، دبی جریان جرمی گازهای حاصل از احتراق که از توربین عبور می‌کند برابر جمع جریان‌های هوای خشک، رطوبت موجود در آن، سوخت و بخار تزریقی می‌باشد [۷]. که توسط رابطه (۲۴) محاسبه می‌شود:

$$\dot{m}_g = \dot{m}_a + \dot{m}_f + \dot{m}_s \quad (۲۴)$$

که در آن η_t با استفاده از رابطه (۲۵) بدست می‌آید [۷]:

$$\eta_t = 1 - \left(0.03 + \frac{r_c - 1}{180} \right) \quad (۲۵)$$

و T_c از رابطه (۲۶) محاسبه می‌شود:

$$r_c = \frac{p_3}{p_4} \quad (۲۶)$$

توان تولیدی توربین، توان مصرفی کمپرسورهای هوای سوخت به ترتیب طبق روابط (۲۷)، (۲۸) و (۲۹) ارزیابی می‌شوند:

$$\dot{W}_t = \dot{m}_g (h_3 - h_4) \quad (۲۷)$$

$$\dot{W}_{ca} = \dot{m}_a (1 + \omega_1) (h_2 - h_1) \quad (۲۸)$$

^۱Approach Temperature

که خواص ترمودینامیکی گاز داغ از معادلات مرجع [۱۲] استخراج شده است. بویلر مدل‌سازی شده برای حالت بدون تزریق بخار تنها مشکل از بخش اکونومایزر و تبخیرکننده است، چرا که آب شیرین کن مورد مطالعه تنها نیاز به بخار اشباع دارد.

$$D'_{i,i} = D_{i-1} C_p \frac{T_{v_{i-1}} - T'_{i,i}}{L_i} \quad (45)$$

بنابراین، معادله موازنۀ انرژی مراحل 2 تا N می‌تواند صورت معادله [۱۱] نوشتۀ شود:

$$D_i = \frac{1}{L_i} [(D_{i-1} + D'_{i-1})L_{i-1} - FC_p(T_i - T_f) - B_{i-1}C_p\Delta T] \quad (46)$$

دبي آب خنک کننده طبق معادله (۴۷) قابل محاسبه است:

$$M_{cw} = \frac{D_N + D'_N - M_{ev}}{C_p(T_f - T_{cw})} - M_f \quad (47)$$

برای ازکتور بخار، مدل بوسیله‌ی مرجع [۱۵] بررسی شده است که برای محاسبه نسبت ورودی به عنوان تابعی از نسبت تراکم (Cr) و نسبت انبساط (Er) استفاده شده است. نسبت تراکم (Cr) و نسبت انبساط (Er) به ترتیب طبق معادلات (۴۸) و (۴۹) قابل محاسبه هستند:

$$Cr = \frac{P_s}{P_{ev}} \quad (48)$$

$$Er = \frac{P_m}{P_{ev}} \quad (49)$$

هنگامی که دبی بخار محرک (M_m) و دبی ورودی (Ra) داده است، دبی بخار مکیده شده از آخرین مرحله و دبی ورودی به ازکتور (M_{ev}) از معادلات (۵۰) و (۵۱) بدست می‌آیند:

$$M_s = M_m * (1 + \frac{1}{Ra}) \quad (50)$$

$$M_{ev} = M_m - M_s \quad (51)$$

یکی از مهمترین پارامترهایی که عملکرد آب شیرین کن را نشان می‌دهد، نسبت عملکرد است که نسبت آب قابل شرب تولید شده به بخار محرک مصرف شده است:

ضریب عملکرد طبق معادله (۵۲) قابل محاسبه هستند:

$$D_{tot} = \sum_{i=1}^N D_i \quad (52)$$

$$PR = \frac{D_{tot}}{M_m} \quad (53)$$

۳- تحلیل اگررژی

اگررژی عبارتست از حداقل کار مفید که از مقدار مشخصی انرژی در دسترس حاصل می‌شود. در یک سیستم باز انرژی و به تبع آن اگررژی از سه طریق تبادل کار، انتقال گرما و انتقال انرژی همراه با جرم با محیط اطراف متبادل می‌شود.

اگررژی بروارد دبی جریان طبق رابطه (۵۴) قابل محاسبه است:

$$ex = ex^{PH} + ex^{CH} + ex^{KE} + ex^{PE} \quad (54)$$

اگررژی فیزیکی و اگررژی شیمیایی به ترتیب از معادلات (۵۵) و (۵۶) قابل محاسبه هستند:

$$ex^{PH} = (h - h_0) - T_0(s - s_0) \quad (55)$$

$$\bar{ex}^{CH} = \sum x_k ex_k^{CH} - \bar{RT}_0 \sum x_k \ln x_k \quad (56)$$

برای محاسبه اگررژی آب دریا آنتروپی آب خالص و نمک خالص در مخلوط آب و نمک می‌تواند طبق رابطه (۵۷) محاسبه گردد:

$$s_i = s(P, T)_{i,pure} - R_u \ln x_i \quad (57)$$

بازده اگررژی آب شیرین کن طبق معادله (۵۸) به دست می‌آید:

$$\eta_{ex} = \frac{E_p}{E_f} = \frac{M_d e_d + M_b e_b - M_{cw} e_{cw} + M_f e_f}{M_m e_m - M_v e_v} \quad (58)$$

۵-۲- تحلیل انرژی واحد آب شیرین کن تبخیری چند مرحله‌ای با تراکم بخار

شکل ۵ طرحواره‌ای از یک سیستم آب شیرین کن را نشان می‌دهد. آب شیرین کن مورد نظر از نوع تبخیر چند مرحله‌ای تراکم بخار گرمایی با تغذیه موازی بوده که شامل تعدادی تبخیرکننده، ازکتور بخار، جعبه‌های فلش و یک چگالنده انتهایی به منظور چگالش بخار تولید شده در آخرین مرحله تشکیل شده است [۱۱].

برای ارزیابی عملکرد گرمایی سیستم، یک مدل ریاضی با به کارگیری قوانین بقای جرم و انرژی برای تبخیرکننده‌ها، ازکتور بخار، جعبه‌های فلش و چگالنده در نظر گرفته شده است که برای سیستم آب شیرین کن فرضیات زیر در نظر گرفته شده است [۱۴]:

- سیستم آب شیرین کن در حالت پایا کار می‌کند.

- بخار تشکیل شده در هر مرحله عاری از نمک است.

- درصد شوری پساب نهایی ۷۰۰۰۰ میلی گرم بر لیتر فرض شده است.

- دبی آب شور ورودی به تمام مراحل ثابت است. برای محاسبه آن طبق رابطه (۳۷) داریم:

$$F = \frac{M_f}{N} \quad (37)$$

- سطح انتقال گرمایی تبخیرکننده‌های ۲ تا N یکسان است.

- اختلاف دمای اولیه بین مراحل متوالی ثابت بوده و طبق رابطه (۳۸) قابل محاسبه است:

$$\Delta T = \frac{T_1 - T_N}{N - 1} \quad (38)$$

اگر دمای بخار گرمایشی T_s باشد، دمای اولین مرحله از رابطه (۳۹) و دمای سایر مراحل از رابطه (۴۰) قابل محاسبه است:

$$T_1 = T_s - \Delta T \quad (39)$$

$$T_{i+1} = T_i - \Delta T \quad i = 2, \dots, N \quad (40)$$

موازنۀ جرم نمک و آب برای اولین مرحله و مراحل ۲ تا N طبق معادلات (۴۱)، (۴۲)، (۴۳) و (۴۴) قابل محاسبه است:

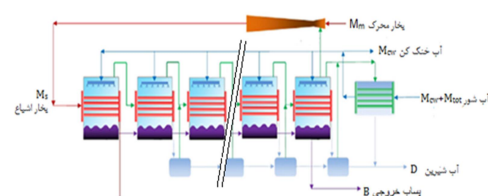
$$B_1 = F - D_1 \quad (41)$$

$$B_i = F + B_{i-1} - D_i \quad i = 2, \dots, N \quad (42)$$

$$x_1 = \frac{F}{B_1} x_f \quad (43)$$

$$x_i = \frac{F}{B_i} x_f + \frac{B_{i-1}}{B_i} x_{i-1} \quad i = 2, \dots, N \quad (44)$$

از سوی دیگر، بخار با دو مکانیزم در مرحله ۲ تا N تولید شده است: جوشیدن و تبخیر ناگهانی. دبی بخار تشکیل شده در جعبه‌ی فلش از



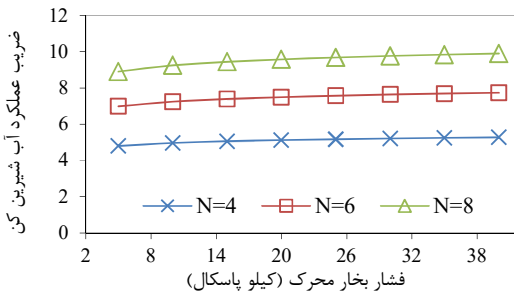
شکل ۵- آب شیرین کن تراکم بخار گرمایی شش مرحله‌ای [۱۲].

معادله (۴۵) محاسبه می‌شود [۱۴].

چرخه‌های مورد نظر از یک واحد توربین گازی تشکیل شده‌اند که گرمای گاز خروجی از توربین، جهت تولید بخار اشیاع در یک بویلر بازیاب بازیافت شده است. سپس از بخار تولید شده جهت تولید آب شیرین در یک آب شیرین کن تبخیر چند مرحله‌ای تراکم بخار گرمایی بهره‌برداری می‌شود. در مدل‌های STIBC و STIIC به ترتیب قسمتی از بخار تولیدی درون محفظه احتراق و قبل از محفظه احتراق تزریق می‌شود. هدف از انجام این پژوهش، مطالعه تاثیر پارامترهای عملکردی مختلف چرخه تولید توان و آب شیرین کن بر تولید محصولات است.

۴-۱- بررسی اثر فشار بخار محرك بر ضریب عملکرد آب-شیرین کن

شکل ۶ تغییرات ضریب عملکرد آب شیرین کن بر حسب فشار بخار محرك در سیستم تولید همزمان چرخه توربین گاز ساده با آب شیرین- کن METVC را نشان می‌دهد. از آنجاییکه تغییرات ضریب عملکرد وابستگی به چرخه بالادست و وجود یا عدم وجود تزریق بخار به مجفظه احتراق چرخه توربین گازی ندارد بنابراین تغییرات ضریب عملکرد آب شیرین کن با فشار بخار محرك برای دو چرخه دیگر تحت مطالعه نیز کاملا مشابه همین شکل می‌باشد که از تکرار آنها خودداری می‌گردد. مشاهده می‌شود که با افزایش فشار بخار محرك به دلیل افزایش دما، دبی آب شور ورودی به آب شیرین کن افزایش یافته که منجر به افزایش میزان آب شیرین تولیدی می‌شود که نهایتا ضریب عملکرد آب شیرین کن افزایش پیدا می‌کند. با افزایش تعداد مراحل آب شیرین کن به دلیل افزایش سطح گرمایی چگالندها، مقدار ضریب عملکرد افزایش پیدا می‌کند.



شکل ۶- اثر تغییرات فشار بخار محرك بر ضریب عملکرد آب شیرین کن در سیستم تولید همزمان چرخه توربین گاز ساده با آب شیرین کن METVC

۴-۲- بررسی اثر تغییرات نسبت فشار کمپرسور بر توان خالص خروجی

در سیستم تولید همزمان چرخه توربین گاز ساده با آب شیرین کن METVC توان خالص خروجی ثابت در نظر گرفته شده است. شکل ۷ و شکل ۸ تغییرات توان خالص خروجی بر حسب نسبت فشار کمپرسور در مدل سیستم تولید همزمان چرخه نیروگاه گازی STIIC و STIBC با آب شیرین کن METVC برای دو درصد تزریق بخار ۱/۰ و دو دمای ورودی به توربین 110°C و 120°C را نشان می‌دهد.

برای سیستم‌های تولید همزمان توان و آب شیرین که در اینجا مورد بحث قرار گرفته است، بازده اگزرسی از رابطه (۵۹) محاسبه می‌شود:

$$\eta_{\text{ex}} = \frac{E_p}{E_F} = \frac{W_{\text{net}} + M_d e_d + M_b e_b - M_{\text{cw}} e_{\text{cw}} + M_f e_f}{m_f e_{\text{fuel}}} \quad (59)$$

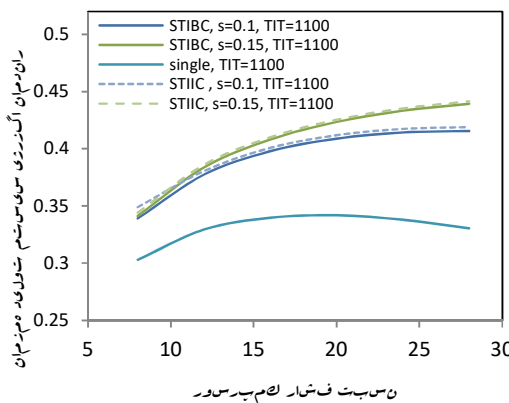
۴- بحث و نتایج

در ابتدا با ثابت نگه داشتن پارامترهای طراحی نظیر نسبت فشار کمپرسور (۱۰)، دمای محصولات احتراق (C) (۱۱۰°C)، فشار بخار محرك یا همان بخار خروجی از بویلر بازیاب و ورودی به آب شیرین کن (۱۵۰ Kpa)، عملکرد این سه مدل بررسی شده است و نتایج برای هر سه مدل در جدول ۱ آورده شده است. سپس هر یک از پارامترهای طراحی مستقل تغییر داده شده و پارامترهای واپسین شامل راندمان اگزرسی، توان خروجی و نرخ بازگشت ناپذیری (ناخ تخریب اگزرسی) و تولید آب شیرین محاسبه گردیده است.

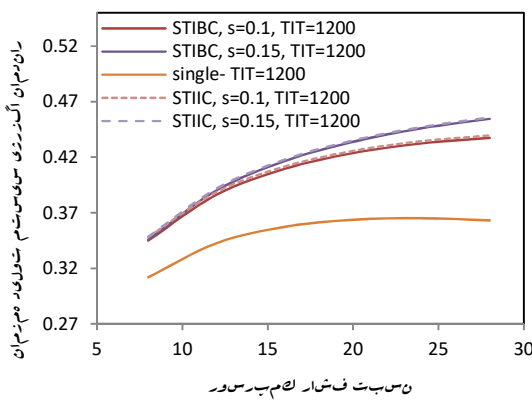
جدول ۱- نتایج مربوط به سه سیستم تولید همزمان (چرخه نیروگاه گازی با آب شیرین کن گرمایی) با فرض بودن پارامترهای طراحی

پارامتر	سیستم	تولید	سیستم	تولید	سیستم	تولید
آب شیرین کن	همزمان با تزریق بخار قبل از محفظه احتراق (TSIBC)	۷/۳۹۲	همزمان به داخل محفظه احتراق (STIIC)	۷/۳۹۲	همزمان ساده (بدون تزریق بخار)	۷/۳۹۲
دبی آب شیرین تولیدی (کیلوگرم بر ثانیه)	۸۲/۴۹۷	۸۲/۳۷۸	۱/۸۲۷	۱۷۱		
راندمان اگزرسی کل	۰/۳۶۱	۰/۳۶۵	۰/۳۲۳			
آب شیرین کن راندمان اگزرسی	۰/۰۴۰۴	۰/۰۳۰۷	۰/۰۳۰۶			
توان خالص خروجی (مگاوات)	۴۷/۶۷	۴۸/۸۴	۴۰			
تخریب اگزرسی کل (مگاوات)	۸۱/۲۶۷	۸۰/۲۲۲	۱/۷۵۷	۸۲		

جدول ۱ نشان می‌دهد که راندمان اگزرسی کلدر مدل‌های همراه با تزریق بخار نسبت به مدل بدون تزریق بخار ۴٪ افزایش یافته است و نرخ تخریب اگزرسی کاهش یافته است. راندمان اگزرسی آب شیرین کن در مدلی که تزریق بخار قبل از محفظه احتراق صورت گرفته است ۱/۱ نسبت به دو مدل دیگر افزایش یافته است. توان خالص خروجی نیز با تزریق بخار تقریبا ۸ مگاوات افزایش پیدا کرده است. با توجه به این جدول ضریب عملکرد آب شیرین کن برای هر سه مدل یکسان است. در مدل‌های همراه با تزریق بخار، به دلیل اینکه مقداری از بخار تولیدی توسط بویلر بازیاب، به چرخه توربین گاز تزریق می‌شود، دبی آب شیرین تولیدی نسبت به مدل بدون تزریق بخار کمتر است.



شکل ۹- اثر تغییرات نسبت فشار کمپرسور بر راندمان اگزرسی در سه سیستم تولید همزمان چرخه توربین گاز ساده با آب $TIT=1100^{\circ}\text{C}$ با آب METVC شیرین کن



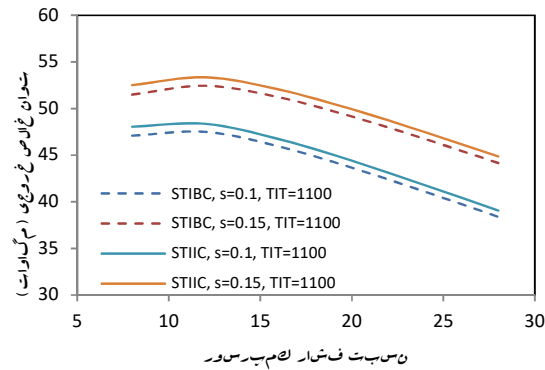
شکل ۱۰- اثر تغییرات نسبت فشار کمپرسور بر راندمان اگزرسی در سه سیستم تولید همزمان چرخه توربین گاز ساده با آب $TIT=1200^{\circ}\text{C}$ با آب METVC شیرین کن

در مدل سیستم تولید همزمان در چرخه نیروگاه گازی STIIC و STIBC با آب شیرین کن، افزایش نسبت فشار کمپرسور، دمای ورودی محفظه احتراق را زیاد می‌کند و در نتیجه مصرف سوخت کاهش یافته و راندمان اگزرسی سیستم تولید همزمان افزایش می‌یابد که با افزایش درصد تزریق بخار به دلیل افزایش دبی جرمی گذرنده از توربین، در مجموع توان خالص خروجی افزایش می‌یابد که منجر به افزایش راندمان اگزرسی سیستم تولید همزمان می‌شود. همچنین افزایش نرخ تزریق بخار در هر دو چرخه مورد مطالعه باعث افزایش راندمان اگزرسی به سبب افزایش دبی جریان گذرنده از توربین می‌گردد.

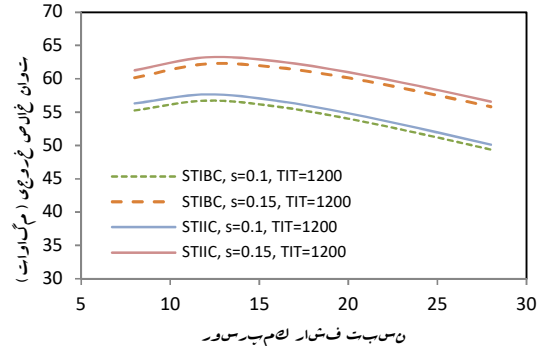
۴-۴- بررسی اثر تغییرات نسبت فشار کمپرسور بر نرخ تولید آب شیرین

شکل ۱۱ و شکل ۱۲ نرخ تولید آب شیرین بر حسب نسبت فشار کمپرسور را در سه سیستم تولید همزمان چرخه توربین گاز با آب شیرین کن METVC در $TIT=1100^{\circ}\text{C}$ و $TIT=1100^{\circ}\text{C}$ نشان می‌دهد. در چرخه ساده، با افزایش نسبت فشار کمپرسور، نرخ تولید آب شیرین ابتدا کاهشی و سپس افزایشی است که این مساله وابستگی

با افزایش نسبت فشار کمپرسور تولید توان خالص چرخه در ابتدا اندکی افزایش و سپس کاهش خواهد یافت که در مرجع ۱۹ بدان اشاره شده است [۱۹]. با افزایش درصد تزریق بخار به دلیل افزایش دبی جرمی گذرنده از توربین، توان خالص خروجی افزایش می‌یابد. همچنین مشاهده می‌گردد که میزان تولید توان در چرخه STIIC در مقایسه با STIBC در یک نسبت فشار و درصد تزریق بخار مشخص بیشتر است.



شکل ۷- اثر نسبت فشار کمپرسور بر توان خالص خروجی در مدل سیستم تولید همزمان چرخه نیروگاه گازی STIIC و STIBC با آب $TIT=1100^{\circ}\text{C}$ METVC شیرین کن

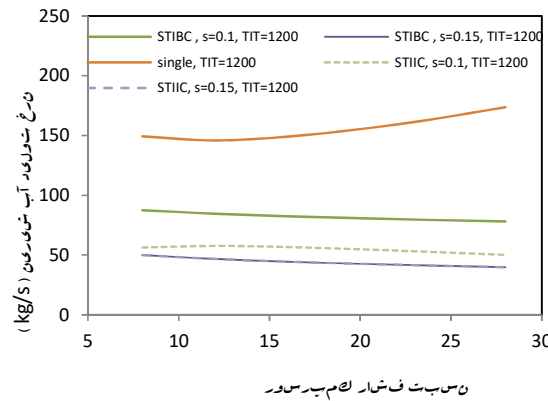


شکل ۸- اثر نسبت فشار کمپرسور بر توان خالص خروجی در مدل سیستم تولید همزمان چرخه نیروگاه گازی STIIC و STIBC با آب $TIT=1200^{\circ}\text{C}$ METVC شیرین کن

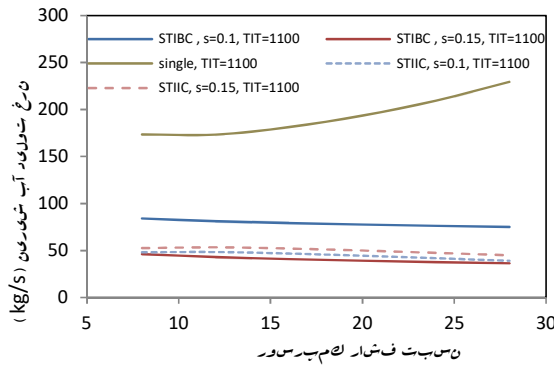
۴-۳- بررسی اثر نسبت فشار کمپرسور بر راندمان اگزرسی سیستم‌های تولید همزمان شکل ۹ و شکل ۱۰ تغییرات راندمان اگزرسی سه سیستم تولید همزمان مورد مطالعه را به ترتیب به ازای دمای ورودی به توربین معادل ۱۱۰۰ و ۱۲۰۰ درجه سانتیگراد بر حسب تغییرات نسبت فشار کمپرسورنشان می‌دهد.

در چرخه توربین گازی ساده، با توجه به اینکه توان خالص خروجی در این مدل ثابت در نظر گرفته شده، با افزایش نسبت فشار کمپرسور به دلیل افزایش دبی آب شیرین تولیدی مطابق فرمول ۵.۹، راندمان اگزرسی سیستم تولید همزمان افزایش می‌یابد. با افزایش دمای ورودی توربین به دلیل افزایش دبی بخار محرك، دبی آب شیرین تولیدی افزایش و در نتیجه راندمان اگزرسی سیستم تولید همزمان افزایش می‌یابد.

مستقیم به تولید توان سیکل دارد و روند آن کاملا مشابه روند تولید توان در شکلهای ۷ و ۸ می باشد.



شکل ۱۱- اثر تغییرات نسبت فشار کمپرسور بر تولید آب شیرین در سه سیستم تولید همزمان چرخه توربین گاز با آب شیرین کن METVC و $TIT=1100\text{ }^{\circ}\text{C}$



شکل ۱۲- اثر تغییرات نسبت فشار کمپرسور بر تولید آب شیرین در سه سیستم تولید همزمان چرخه توربین گاز با آب شیرین کن METVC و $TIT=1200\text{ }^{\circ}\text{C}$

۶- نمادها	
A	هوای
AF	نسبت جرمی هوای سوخت
B	دیجی جرم عموری (پساب) (kg/s)
C	کمپرسور هوای
CC	محفظه احتراق
Cr	نسبت تراکم آب شیرین کن خواهد داشت.
CP	گرمایی ویژه (kJ/kg.K)
D	دیجی آب شیرین تولیدی (kg/s)
ex	اگررژی (kW/kg)
Er	نسبت انبساط نرخ جرمی تغذیه هر مرحله (kg/s)
F	کمپرسور سوخت
FC	زیان‌نور
G	آنتالپی ویژه (kW/kg)
h	مولد بخار بازیاب گرما
HRSG	نمای آزنتروبیک
K	گرمایی نهان تبخیر (kJ/kg)
L	ارزش گرمایی پایین سوخت (kg/j)
m	دیجی جرمی (kg/s)
M	دیجی جرمی (kg/s)
N	تعداد مراحل
P	فشار (kPa)، پمپ

۵- نتیجه گیری

در مقاله حاضر تاثیر پارامترهای عملکردی سه چرخه تولید همزمان توان و آب شیرین، چرخه توربین گاز ساده (بدون تریق بخار)، چرخه با تریق بخار به داخل محفوظه احتراق (STIIC) و با تریق بخار قبل از محفوظه احتراق (STIBC) بررسی شد و اثر پارامترهای نظری نسبت تراکم اکتوور، نسبت فشار کمپرسور و فشار بخار محرک در سه مدل مختلف مورد مطالعه قرار گرفت. برای مقایسه رفتار سه چرخه، شاخصهایی نظری ضریب عملکرد آب شیرین کن، مقدار آب شیرین تولیدی،

آب دریا	sw	ضریب عملکرد	PR
ورودی و خروجی کمپرسور	1,2	نسبت فشار	R
ورودی و خروجی توربین	3,4	نسبت ورودی	Ra
کلی	tot	ثابت جهانی گاز (K)	Ru
گرمایی	th	آنتروپوی (kJ/kg.K)	S
حالت بخار مرحله	V	دما (C)، توربین	T
آب خالص	W	بیشترین دمای آب شور (C)	TBT
		آب شیرین کن	TDU
		دمای ورودی توربین (C)	TIT
		دبی جرمی بخار تزریقی (kg/s)، نسبت تزریق بخار	W
		شوری (ppm)، کسر مولی	X
علامت یونانی			
راندمان	η		
نسبت سوخت به هوا	λ		
رطوبت نسبی	φ		
نسبت رطوبت	ω		
بالانویس			
شیمیابی	CH		
جنبی	KE		
پتانسیل	PE		
فیزیکی	PH		
زیر نویس			
نقشه تقرب	ap		
پساب	B		
کمپرسور، چگالنده	C		
آب خنک کن	Cw		
نمای آبزتریوپیک	c.v		
آب شیرین	D		
تبخیر کننده	E		
اکونوماizer	eco		
اکونوماizer	ec		
بخار ورودی، تبخیر کننده	ev		
تبخیر کننده	eva		
اگزرسی	ex		
آب تغذیه، سیال، سوخت	f		
سوخت	Fuel		
غاز داغ	g		
تعداد مراحل، اجزا	I		
آبزتریوپیک کمپرسور	Ic		
آبزتریوپیک توربین	It		
بخار محرک	m		
تعداد مراحل آب شیرین کن	N		
خالص	net		
خروچی	O		
محصولات	P		
نقشه پینج	PP		
بخار گرمایشی، نمک، آبزتریوپیک	S		
حالت اشباع	sat		
فرآگرمن	sh		
فرآگرمن	sup		

۷-مراجع

- [1] Johansen J., Babus'Haq R. F., Probert S. D., an Integrated CHPand Desalination Plant, *Applied Energy*, Vol. 53, pp. 157-178, 1996.
- [2] Darwish M.A., Desalting fuel energy cost in Kuwait in view of \$75/barreloil price, *Desalination*, Vol. 208, pp. 306-320, 2007.
- [3] Bolland O., Stadaas J.F., Comparative anevaluation of combined cycleand gas turbine system with water injection, steam injection and recuperation, *Journal of Engineering for gas turbine and power*, Vol. 117, pp.138-145, 1995.
- [4] Kopac M., Zember B., Exergy analysis of the steam-injected gas turbine, *International Journal of Exergy*, Vol.1, pp. 363-374, 2004.
- [5] Behbahaninia A., Farshad A., Shams A., Amidpour M., Exergy andthermoeconomic optimization of gas turbine cycle with steam injection in the combustion chamber, *Iranian Journal of Mechanical Engineering*, Vol. 1, pp.23-39, 2009.(In Persian)
- [6] Nishada K., Takagi T., Kinoshita S., Regenerative steam-injection gas turbine systems, *Applied energy*, Vol.81, pp. 231-246, 2005
- [7] Wang Y., Lior N., Performance analysis of combined humidified gas turbine power generation and multi-effect thermal vapor compression desalination systems Part 1: The desalination unit and its combinationwith a steam-injected gas turbine power system, *Desalination*, Vol. 196, pp. 84–104, 2006.
- [8] Janghorban Esfahani I., Chang Kyoo Y., Feasibility study and performance assessment for the integrationof a steam-injected gas turbine and thermal desalination system, *Desalination*, Vol. 332, pp. 18–32, 2014
- [9] Alizadeh Arani A. M., Zamani V., Behbahaninia A., Economic analysis of a combined power and desalination plant considering availability changes due to degradation, *Desalination*, Vol. 414, pp. 1–9, 2017
- [10] Ahmadi R., Pourfatemi S. M., Ghaffari S., Exergoeconomic optimization of hybrid system of GT, SOFC and MED implementing genetic algorithm, *Desalination* 411 (2017) 76–88
- [11] Bejan A., Tsetsaronis G., Moran M., *Thermal Design and Optimization*, John Wiley & Sons, New York, 1996.
- [12] Shakib S.E., Amidpour M., Aghanajafi C., Simulation and optimization of multi effect desalination coupled to a gas turbine plant with HRSG consideration, Elsevier, *Desalination*, Vol. 285, pp. 366-376, 2012.
- [13] Shakib S.E., Hosseini S.R., Amidpour M., Aghanajafi C., Multi-objective optimization of a cogeneration plant for supplying given amount ofpower and fresh water, *Desalination*, Vol. 286,pp. 225–234, 2012.
- [14] Shakib S.E., Amidpour M., Aghanajafi C., A new approach for process optimization of a METVC desalination system, *Desalination and Water Treatment*, Vol.37, pp. 1-13, 2012.
- [15] Power R., *Steam Jet Ejector for the Process Industries*, McGraw Hill, New York, 1994.
- [16] Kahraman N., Cengel Y.A., Exergy analysis of a MSF distillation plant, *Energy Conversionand Management*, Vol. 46, pp. 2625–2636, 2005.